

Tumorregister München



- ▶ Survival
- ▶ Auswahlmatrix
- ▶ Homepage
- ▶ English

ICD-10 C53-C55: Uteruskarzinom

Inzidenz und Mortalität

Diagnosejahr	1998-2020
Patienten	17 599
Erkrankungen	17 683
Erstellungsdatum	20.12.2021
Datenbankexport	20.12.2021
Population (Frauen)	2,50 Mio.



Tumorregister München
Bayerisches Krebsregister - Regionalzentrum München
am Klinikum Großhadern/IBE
Marchioninstr. 15
81377 München
Deutschland

<https://www.tumorregister-muenchen.de>

<https://www.tumorregister-muenchen.de/facts/base/bC5355G-ICD-10-C53-C55-Uteruskarzinom-Inzidenz-und-Mortalitaet.pdf>

Index der Abbildungen und Tabellen

Abb./Tab.		Seite
1	Alle Fälle mit DCO-Anteil, weiteren Malignomen, Verstorbenen, Follow-up-Qualität nach Diagnosejahr	4
2	Inzidenz nach Diagnosejahr	5
3	Kenngößen der Altersverteilung nach Diagnosejahr	6
4	Altersverteilung nach 5 Jahres-Altersklassen	7
5	Altersspezifische Inzidenz, DCO-Anteil, Anteil an allen malignen Tumoren	8
6	Altersverteilung und altersspezifische Inzidenz (Grafik)	9
6a	Altersspezifische Inzidenz international (Grafik)	10
7	Standardisierte Inzidenzratio von weiteren Malignomen	11
8a	Kartierung Inzidenz (BRD-S) nach Landkreisen (Grafik)	12
8b	Standardisierte Inzidenzratio (SIR) nach Landkreisen (Grafik)	13
9a	Mortalität nach Inzidenz-Kohorten	14
9b	Inzidenz und Mortalität nach Jahrgängen	15
9c	Tumorbedingt Verstorbene, mit Todesbescheinigung	16
10	Sterbealter Mediane	17
11	Mortalität nach Sterbejahr	18
12	Altersverteilung nach 5 Jahres-Altersklassen	19
13	Altersspezifische Mortalität	20
14	Weitere Tumoren bei Verstorbenen	21
15	Altersspezifische Mortalität (Erstmalignome)	22
16	Altersspezifische Mortalität (Einfachmalignome)	23
17	Altersverteilung und altersspezifische Mortalität (Grafik)	24
18a	Kartierung Mortalität (BRD-S) nach Landkreisen (Grafik)	25
18b	Standardisierte Mortalitätsratio (SMR) nach Landkreisen (Grafik)	26

**Allgemeine Anmerkungen zu den Auswertungen im Internet –
Basisstatistiken (graue Taste ) , Überleben (rote Taste )
und spezielle Auswertungen (blaue Taste )**

Mit diesen Auswertungen belegen Kliniken und Ärzte für ganz Oberbayern und die Stadt und den Landkreis Landshut[#], zusammen 4,69 Mio. Einwohner, die Krebserkrankungshäufigkeiten^{##} und die erreichten Langzeitergebnisse. Das im Tumorregister München (TRM) berechnete Überleben wird mit den Ergebnissen der bevölkerungsbezogenen Krebsregistrierung in den USA (SEER) verglichen.

Bei Zusammenschau mehrerer Tabellen fallen immer wieder unterschiedliche Summen auf. Diese beruhen darauf, dass einmal Patienten die Berechnungsgrundlage bilden, z.B. wenn es um Anteile von Mehrfachtumoren oder DCO-Fällen^{###} geht. Im anderen Fall sind die einzelnen Tumordiagnosen Grundlage der Berechnung, z.B. wenn es um Inzidenzen geht.

Die Fußzeile beschreibt die Aktualität der Daten. Einmal jährlich werden die Basisstatistiken und das Überleben aktualisiert. Diese jährliche Aufbereitung stellt somit den Jahresbericht des TRM dar.

Die Kliniken und Ärzte haben selbstverständlich Zugang zu wesentlich detaillierteren Daten, anhand derer sie ihre Daten und Ergebnisse prüfen, vergleichen und gegebenenfalls optimieren.

Tumorregister München, im Dezember 2021

Basisdaten werden ab 1998 ausgewiesen. Erkennbar ist die Zunahme der Neuerkrankungen, die durch zweimalige Erweiterung des Einzugsgebietes begründet ist (2002 von 2,65 Mio. auf 4,10 und 2007 auf 4,69 Mio. Einwohner).

Wegen der großen Häufigkeit und der guten Prognose der nicht-melanomatösen Hautkrebserkrankungen (C44) erfolgt keine systematische Erfassung. C44 wird nicht als Ersttumor ausgewiesen, allerdings als ein Folgetumor.

DCO (death certificate only) bezeichnet eine Krebserkrankung, die dem TRM erst mit der Todesbescheinigung zugänglich wurde.

ICD-10-Kodes (ICD-10-GM 2015) zur Kollektiv-Definition

Kode	Bezeichnung
C53.-	Bösartige Neubildung der Cervix uteri
C53.0	Endozervix
C53.1	Ektozervix
C53.8	Cervix uteri, mehrere Teilbereiche überlappend
C53.9	Cervix uteri, nicht näher bezeichnet
C54.-	Bösartige Neubildung des Corpus uteri
C54.0	Isthmus uteri
C54.1	Endometrium
C54.2	Myometrium
C54.3	Fundus uteri
C54.8	Corpus uteri, mehrere Teilbereiche überlappend
C54.9	Corpus uteri, nicht näher bezeichnet
C55	Bösartige Neubildung des Uterus, Teil nicht näher bezeichnet

INZIDENZ

Tabelle 1

Fälle mit invasivem Tumor nach Diagnosejahren, Anteil von DCO, weiteren Malignomen, Verstorbenen und gutem Follow-up (einschl. DCO)

Diagnose- jahr	Alle Fälle n	DCO- Fälle n	Anteil DCO %	Anteil mind. 1 weiteres Malignom vorher + synchron %	Anteil mind. 1 weiteres Malignom nachher %	Anteil verstorben %	Anteil gutes Follow-up %
1998	488	24	4.9	9.0	10.4	60.7	93.2
1999	509	27	5.3	9.7	10.2	58.2	92.7
2000	476	23	4.8	10.3	9.9	56.3	95.0
2001	508	27	5.3	10.3	9.7	55.9	92.7
2002	767	48	6.3	10.2	9.5	57.9	95.8 #
2003	768	53	6.9	9.9	9.2	57.2	94.4
2004	763	49	6.4	10.1	8.8	56.2	94.9
2005	803	36	4.5	10.2	8.5	52.4	93.0
2006	754	26	3.4	10.0	8.2	47.6	91.4
2007	883	45	5.1	10.1	8.0	51.0	90.6 #
2008	916	36	3.9	10.2	7.5	45.1	97.9
2009	894	29	3.2	10.4	7.0	46.1	96.2
2010	838	43	5.1	10.6	6.6	44.9	97.4
2011	869	25	2.9	10.8	6.2	40.7	96.4
2012	883	45	5.1	11.3	5.8	43.4	97.2
2013	908	36	4.0	11.5	5.3	42.1	97.4
2014	903	27	3.0	11.7	4.8	37.7	96.1
2015	821	35	4.3	11.8	4.2	34.2	94.2
2016	844	22	2.6	12.2	3.9	29.6	99.3
2017	875	29	3.3	12.3	3.2	24.3	99.0
2018	847	21	2.5	12.4	3.3	23.5	99.3
2019	711			12.5	2.2	17.0	99.4
2020	655	2	0.3	12.5	1.4	12.5	99.5 ##
1998-2020	17683	708	4.0	12.5	10.4	42.4	96.0

17 683 Diagnosen aus den Jahren 1998-2020 beziehen sich auf insgesamt 17 599 Patienten. Von diesen 17 599 Patienten sind derzeit 4 161 Patienten (23,6 %) mit mehr als einem Malignom registriert, das auch eine andere Tumorart sein kann. Dabei gibt es 3 387 / 630 / 144 (19,2 % / 3,6 % / 0,8 %) Krankheitsverläufe mit 2 / 3 / >3 Malignomen.

Der Anstieg der Fallzahlen in 2002 und 2007 ist durch Erweiterungen des Einzugsgebiets begründet.

Bitte beachten: Die Bearbeitung der letzten Jahrgangskohorten ist noch nicht abgeschlossen. Die ausgewerteten Jahrgänge entnehmen Sie bitte den jeweiligen Überschriften.

Lesehilfe:

Im Jahr 2018 ist eine Gruppe von 847 Fällen diagnostiziert worden, von denen 12,4 % vorher und/oder zeitgleich (synchron) mindestens ein weiteres Malignom hatten, das auch eine andere Tumorart sein kann. Bei 3,3 % der Fälle ist im Follow-up mindestens ein neues Malignom aufgetreten (alle Zahlen beziehen sich auf das Datum des Datenbankexports, s. Deckblatt).

Tabelle 2

Inzidenzen nach Diagnosejahr einschl. DCO-Fälle
(ab 2002 erweitertes Einzugsgebiet von 2,65 auf 4,10 Mio.,
ab 2007 von 4,10 auf 4,94 Mio. berücksichtigt)

Diagnose- jahr	Anzahl n	Inzidenz roh	Inzidenz WS	Inzidenz ES	Inzidenz BRD-S
1998	488	41.5	23.0	31.6	37.1
1999	509	42.9	23.5	32.1	37.6
2000	476	39.6	21.8	29.9	35.1
2001	508	41.8	22.7	31.2	36.6
2002	767	39.2	21.0	28.8	33.9
2003	768	39.0	20.5	28.5	33.3
2004	763	38.6	20.2	28.1	33.0
2005	803	40.4	21.6	29.5	34.1
2006	754	37.5	20.0	27.4	31.8
2007	883	38.2	20.4	28.1	32.5
2008	916	39.5	21.0	28.8	33.2
2009	894	38.4	20.8	28.4	32.6
2010	838	35.8	18.4	25.5	30.0
2011	869	37.2	19.6	26.8	31.1
2012	883	37.4	19.0	26.3	30.8
2013	908	38.1	19.7	27.1	31.7
2014	903	37.5	19.5	26.7	31.1
2015	821	33.7	17.7	24.2	27.9
2016	844	34.4	18.5	25.1	28.7
2017	875	35.5	19.1	26.0	29.7
2018	847	34.1	18.0	24.6	28.3
2019	711	28.6	15.0	20.6	23.8
2020	655	26.4	14.3	19.4	22.0
1998-2020	17683	36.6	19.4	26.6	30.8

Bei der Inzidenzberechnung wird jede Tumordiagnose (unabhängig ob Ersttumor oder nicht) berücksichtigt.

Tabelle 3

Kenngrößen der Altersverteilung nach Diagnosejahr
(mit DCO)

Diagnose- jahr	Anzahl n	Mittel- wert	Std. abw.	Median						
				Min.	Max.	10%	25%	50%	75%	90%
1998	488	63.5	14.7	23.8	95.5	41.7	53.5	64.4	74.5	82.7
1999	509	63.4	15.9	24.4	99.9	39.5	52.8	64.3	75.5	83.7
2000	476	63.0	14.9	23.9	93.1	40.4	53.7	63.5	75.2	80.8
2001	508	64.0	15.2	22.9	96.0	41.1	54.2	64.3	74.9	82.7
2002	767	64.2	15.1	25.9	96.1	41.1	54.6	65.6	75.8	82.3
2003	768	65.2	14.7	27.3	99.4	43.6	56.0	65.4	76.3	83.8
2004	763	64.9	14.7	21.0	99.8	43.1	55.5	65.7	76.1	83.1
2005	803	64.2	15.0	24.0	100	41.6	54.9	66.0	73.9	83.5
2006	754	64.3	15.2	22.9	99.4	42.2	53.9	65.3	75.3	83.4
2007	883	64.0	15.0	22.0	99.2	42.1	54.4	66.1	74.8	82.6
2008	916	64.0	14.6	24.0	97.1	43.4	53.7	66.4	73.8	82.6
2009	894	64.1	14.9	23.1	102	42.3	54.2	65.0	74.2	83.0
2010	838	65.0	15.0	25.1	98.7	43.2	54.7	67.0	76.1	84.1
2011	869	64.0	15.2	25.7	95.6	42.0	53.5	66.5	74.8	83.3
2012	883	65.3	14.9	0.3	97.8	44.3	55.3	67.6	75.9	83.9
2013	908	64.6	15.2	22.1	99.7	43.7	54.5	65.4	76.3	83.5
2014	903	64.2	15.6	22.0	99.0	40.3	53.3	66.1	75.9	83.0
2015	821	64.6	14.8	27.2	102	44.4	54.1	65.7	75.5	83.0
2016	844	63.5	15.1	22.4	96.7	41.5	53.7	64.7	75.4	82.2
2017	875	63.7	14.4	28.3	96.6	43.9	54.6	64.6	74.8	80.9
2018	847	64.1	14.6	22.0	97.8	43.5	53.9	64.7	75.9	82.1
2019	711	63.7	14.5	22.5	95.5	42.5	54.5	64.8	75.8	81.0
2020	655	63.0	15.0	23.0	99.0	42.0	53.1	63.5	74.5	82.3
1998-2020	17683	64.2	14.9	0.3	102	42.6	54.3	65.5	75.3	82.8

Tabelle 4

Altersverteilung nach 5 Jahres-Altersklassen für 2007-2020
(mit DCO)

Alter bei Diagnose Jahre	Anzahl		Kum. %
	n	%	
0-4	1	0.0	0.0
5-9	0	0.0	0.0
10-14	0	0.0	0.0
15-19	0	0.0	0.0
20-24	12	0.1	0.1
25-29	114	1.0	1.1
30-34	298	2.5	3.6
35-39	431	3.6	7.2
40-44	622	5.3	12.5
45-49	709	6.0	18.5
50-54	981	8.3	26.7
55-59	1274	10.8	37.5
60-64	1328	11.2	48.7
65-69	1466	12.4	61.1
70-74	1568	13.2	74.3
75-79	1334	11.3	85.6
80-84	886	7.5	93.1
85+	823	6.9	100.0
Gesamt	11847	100.0	

Tabelle 5

Altersspezifische Inzidenz mit DCO-Anteil und Anteil an allen Krebserkrankungen für 2007–2020

Alter bei Diagnose Jahre	Anzahl n	Altersspez. Inzidenz	DCO-Rate n=388 %	Anteil Krebs n=155051 %
0– 4	1	0.1	100.0	0.6
5– 9		0.0		
10–14		0.0		
15–19		0.0		
20–24	12	0.6		2.3
25–29	113	5.0		9.5
30–34	297	13.0		13.8
35–39	431	19.0	0.2	12.3
40–44	621	25.7	0.2	10.1
45–49	705	27.1	0.4	7.5
50–54	981	39.1	0.4	7.9
55–59	1273	58.5	0.6	9.6
60–64	1325	69.8	0.8	8.5
65–69	1462	80.6	1.6	7.7
70–74	1564	91.0	1.7	7.9
75–79	1331	88.6	2.7	6.8
80–84	882	82.9	8.0	5.7
85+	820	78.7	24.6	5.0
Gesamt	11818		3.3	7.6
Inzidenz				
Roh		35.2		
WS		18.6		
ES		25.4		
BRD–S		29.4		

Die altersspezifische Inzidenz beschreibt das Erkrankungsrisiko in den jeweiligen Altersklassen; die Altersverteilung ist von der Besetzung der jeweiligen Altersklasse abhängig und beschreibt das erfahrbare Krankheitsbild aus dem Versorgungsalltag (s. folgende Abbildung).

ICD-10 C53-C55: Bösartige Neubildung des Uterus

Altersverteilung und altersspez. Inzidenz 2007 - 2020 (n=11818)

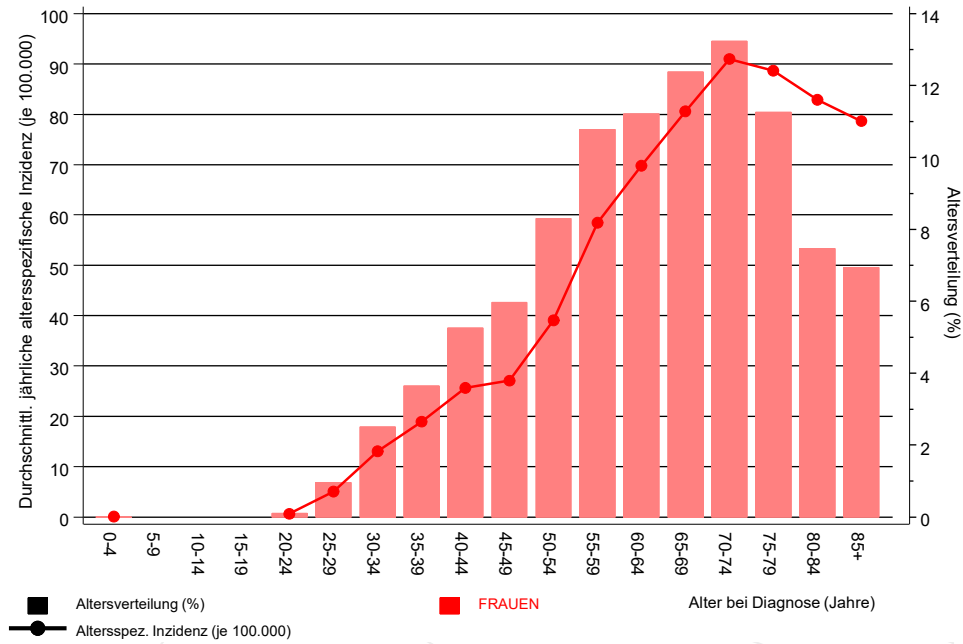


Abb. 6. Altersverteilung (Mittelwert=64,2 J., Median=65,6 J.) und altersspezifische Inzidenz.

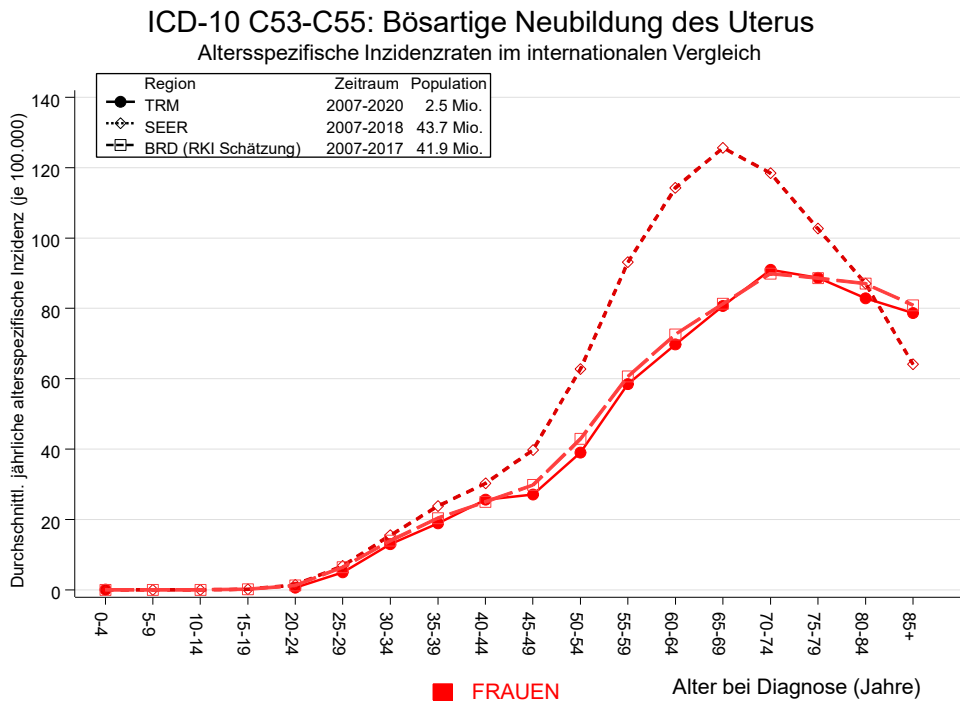


Abb. 6a. Altersspezifische Inzidenz im Einzugsgebiet des Tumorregisters München im Vergleich mit der BRD (RKI Schätzung) und SEER (Surveillance, Epidemiology, and End Results, USA).

Quelle:

Geschätzte altersspezifische Fallzahlen für Deutschland, letzte Aktualisierung: 16.03.2021. Zentrum für Krebsregisterdaten im Robert Koch-Institut (RKI) auf Basis der epidemiologischen Landeskrebsregisterdaten. <http://www.krebsdaten.de>. Abrufdatum: 17.08.2021
 Surveillance, Epidemiology, and End Results (SEER) Program SEER*Stat Database: Incidence - SEER 21 Regs Research Data, released April 2021, based on the November 2020 submission. <http://www.seer.cancer.gov>.

Tabelle 7

Standardisierte Inzidenzratio (SIR, mit 95%-Konfidenzintervallen),
zusätzliches absolutes Risiko (EAR) und DCO-Rate von weiteren Malignomen
für 1998-2020

Diagnose	Beobachtet n	Erwartet n	SIR	KI 95%	KI 95%	EAR	DCO %
C03-C06 Mundhöhle	6	4.1	1.5	0.5	3.2	0.3	
C09-C10 Oropharynx	9	3.0	3.0	1.4	5.8 #	0.9	
C15 Ösophagus	12	4.6	2.6	1.3	4.5 #	1.1	8.3
C16 Magen	42	23.5	1.8	1.3	2.4 #	2.7	16.7
C17 Dünndarm	15	3.8	4.0	2.2	6.5 #	1.7	
C18 Kolon	179	67.4	2.7	2.3	3.1 #	16.4	8.9
C19-C20 Rektum	61	27.8	2.2	1.7	2.8 #	4.9	9.8
C21 Anus/Analkanal	10	4.0	2.5	1.2	4.7 #	0.9	10.0
C22 Leber	17	8.6	2.0	1.1	3.2 #	1.2	5.9
C23-C24 Galle	25	9.8	2.5	1.6	3.8 #	2.2	12.0
C25 Pankreas	70	32.3	2.2	1.7	2.7 #	5.6	25.7
C26 Gastrointest.Ca	4	1.1	3.5	1.0	9.1	0.4	50.0
C33-C34 Lunge	181	53.1	3.4	2.9	3.9 #	18.8	11.6
C40-C41 Knochen	5	0.7	7.4	2.4	17.4 #	0.6	
C43 Malign. Melanom	51	27.7	1.8	1.4	2.4 #	3.4	
C46,C49 Weichteilsarkom	16	4.0	4.0	2.3	6.4 #	1.8	
C48 Peritoneal	28	2.9	9.6	6.4	13.9 #	3.7	
C50 Mamma	571	219.4	2.6	2.4	2.8 #	51.8	2.6
C51 Vulva	24	7.4	3.2	2.1	4.8 #	2.4	4.2
C52 Vagina	14	1.3	10.7	5.8	17.9 #	1.9	
C53 Cervix uteri	34	9.7	3.5	2.4	4.9 #	3.6	35.3
C54 Corpus uteri	37	39.3	0.9	0.7	1.3	-0.3	35.1
C55,C57 Sonst.gyn.Tumor	14	1.5	9.6	5.2	16.1 #	1.8	85.7
C56 Ovar/Tube	343	28.3	12.1	10.9	13.5 #	46.4	11.1
C64 Niere	40	16.5	2.4	1.7	3.3 #	3.5	10.0
C65 Nierenbecken	8	2.2	3.6	1.6	7.2 #	0.9	
C66 Harnleiter	7	1.2	6.0	2.4	12.3 #	0.9	
C67 Harnblase	41	13.6	3.0	2.2	4.1 #	4.0	7.3
C70-C72 ZNS	16	9.2	1.7	1.0	2.8	1.0	25.0
C73 Schilddrüse	31	12.1	2.6	1.7	3.6 #	2.8	
C76-C79 Unbek.Primär-Ca	29	12.5	2.3	1.6	3.3 #	2.4	3.4
C81 M.Hodgkin-L.	5	1.3	3.8	1.2	8.8 #	0.5	
C82-C85 Non-Hodgkin-L.	55	27.5	2.0	1.5	2.6 #	4.1	3.6
C90 Plasmozytom	11	8.6	1.3	0.6	2.3	0.4	9.1
C91-C96 Leukämie	34	10.3	3.3	2.3	4.6 #	3.5	14.7
Sonst. Malignome	22	9.6	2.3	1.4	3.5 #	1.8	
Nicht beobachtet	0	1.6	0.0	0.0	2.3	-0.2	
Weitere Malignome gesamt	2067	711.4	2.9	2.8	3.0 #	199.7	9.0

Patienten 16914
 Altersmedian bei weiterem Malignom (Jahre) 70.9
 Personenjahre 67891
 Mittlere Beobachtungszeit (Jahre) 4.0
 Mediane Beobachtungszeit (Jahre) 2.1

Das Auftreten des weiteren Malignoms ist statistisch auffällig.

Beobachtete weitere Malignome mit der Häufigkeit 1 bis 3 sind in der Kategorie „Sonst. Malignome“
zusammengefasst.

Durchschnittliche Inzidenz (BRD 87-Standard) 2007 - 2020

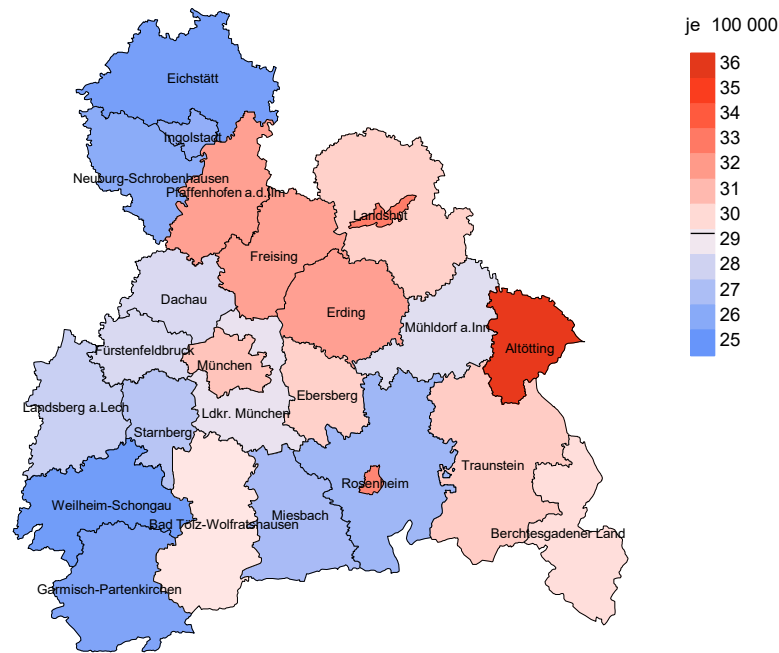


Abb. 8a. Kartierung der Inzidenz (BRD-Standard, einschl. DCO-Fälle) nach Landkreisen als Durchschnitt für die Diagnosejahrgänge 2007 bis 2020. Die rote bzw. blaue Farbe repräsentiert entsprechend ihrer Intensität höhere bzw. niedrigere Inzidenzen im Vergleich zum Mittel in der gesamten Region (29,4/100 000 WS N=11 818), weiß.

Vorsicht bei der Interpretation! Im Landkreis Ebersberg als Beispiel mit 67 727 weiblichen Einwohnern (gemittelt) sind zwischen 2007 und 2020 insgesamt 340 Frauen an Uteruskarzinom neu erkrankt. Hieraus errechnet sich eine durchschnittliche Inzidenz (BRD-Standard) von 30.3/100 000. Unter Berücksichtigung möglicher Schwankungen kann die Inzidenz in diesem Landkreis mit einer Wahrscheinlichkeit von 99% zwischen 26.2 und 34.9/100 000 liegen.

Standardisierte Inzidenzratio (SIR) 2007 - 2020

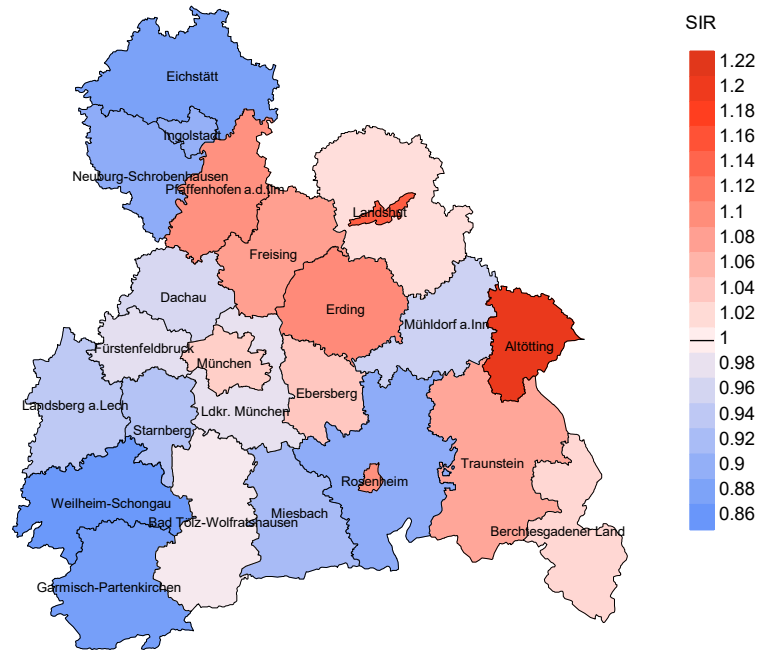


Abb. 8b. Kartierung der Standardisierten Inzidenzratio (SIR, einschl. DCO-Fälle) nach Landkreisen als Durchschnitt für die Diagnosejahrgänge 2007 bis 2020. Die rote bzw. blaue Farbe repräsentiert entsprechend ihrer Intensität höhere bzw. niedrigere SIR-Werte im Vergleich zum Erwartungswert der gesamten Region von 1.0 (N=11 818), weiß.

Vorsicht bei der Interpretation! Im Landkreis Ebersberg als Beispiel mit 67 153 weiblichen Einwohnern (gemittelt) sind zwischen 2007 und 2020 insgesamt 340 Frauen an Uteruskarzinom neu erkrankt. Hieraus errechnet sich eine durchschnittliche Standardisierte Inzidenzratio (SIR) von 1.04. Unter Berücksichtigung möglicher Schwankungen kann der Wert in diesem Landkreis mit einer Wahrscheinlichkeit von 99% zwischen 0.90 und 1.19 liegen und gilt damit als statistisch unauffällig.

MORTALITÄT

Tabelle 9a

Jahrgangskohorten: Neuerkrankte Fälle, Follow-up-Status, Anteil von DCO, bisher aus der Kohorte Verstorbene und Anteil der Sterbefälle mit Todesbescheinigungen (ab 2002 erweitertes Einzugsgebiet von 2,65 auf 4,10 Mio., ab 2007 von 4,10 auf 4,94 Mio. berücksichtigt)

Diagnose- jahr	Neu- erkrankungen n	Anteil gutes Follow-up %	Anteil DCO %	Ver- storbene n	Anteil verstorben %	Anteil verstorben mit Todes- bescheinigung %
1998	488	93.2	4.9	296	60.7	88.9
1999	509	92.7	5.3	296	58.2	91.2
2000	476	95.0	4.8	268	56.3	93.3
2001	508	92.7	5.3	284	55.9	94.7
2002	767	95.8	6.3	444	57.9	93.5
2003	768	94.4	6.9	439	57.2	94.1
2004	763	94.9	6.4	429	56.2	94.4
2005	803	93.0	4.5	421	52.4	93.3
2006	754	91.4	3.4	359	47.6	95.3
2007	883	90.6	5.1	450	51.0	93.6
2008	916	97.9	3.9	413	45.1	95.2
2009	894	96.2	3.2	412	46.1	94.9
2010	838	97.4	5.1	376	44.9	94.1
2011	869	96.4	2.9	354	40.7	96.0
2012	883	97.2	5.1	383	43.4	94.0
2013	908	97.4	4.0	382	42.1	91.1
2014	903	96.1	3.0	340	37.7	92.4
2015	821	94.2	4.3	281	34.2	89.0
2016	844	99.3	2.6	250	29.6	83.6
2017	875	99.0	3.3	213	24.3	79.3
2018	847	99.3	2.5	199	23.5	70.9
2019	711	99.4		121	17.0	80.2
2020	655	99.5	0.3	82	12.5	90.2
1998-2020	17683	96.0	4.0	7492	42.4	91.8

Tabelle 9b

Jahrgangskohorten der neuerkrankten Fälle und der Sterbefälle sowie die Anzahl der Sterbefälle aus der Jahrgangskohorte der Neuerkrankten im gleichen Jahr und der prozentuale Anteil mit Todesbescheinigung (mit DCO)
(ab 2002 erweitertes Einzugsgebiet von 2,65 auf 4,10 Mio.,
ab 2007 von 4,10 auf 4,94 Mio. berücksichtigt)

Diagnose-/ Sterbe- jahr	Neu- erkrankungen n	Ver- storbene n	Anteil verstorben mit Todes- bescheinigung %	Verstorbene im selben Jahr n	Anteil verstorben im selben Jahr %
1998	488	239	89.5	48	9.8
1999	509	256	91.4	51	10.0
2000	476	266	92.9	51	10.7
2001	508	229	91.7	44	8.7
2002	767	387	95.6	82	10.7
2003	768	467	96.4	93	12.1
2004	763	423	96.9	82	10.7
2005	803	438	95.0	71	8.8
2006	754	415	96.1	55	7.3
2007	883	491	96.9	93	10.5
2008	916	489	98.8	72	7.9
2009	894	517	99.0	70	7.8
2010	838	526	98.7	79	9.4
2011	869	579	97.4	80	9.2
2012	883	533	98.3	99	11.2
2013	908	595	97.8	89	9.8
2014	903	569	98.2	80	8.9
2015	821	553	97.6	63	7.7
2016	844	563	98.6	64	7.6
2017	875	616	96.6	76	8.7
2018	847	481	64.9	58	6.8
2019	711	443	42.9	38	5.3
2020	655	567	83.1	44	6.7
1998-2020	17683	10642	92.4	1582	8.9

Tabelle 9c

Jahrgangskohorten der Sterbefälle, unterteilt nach wahrscheinlich tumorbedingt, wahrscheinlich nicht tumorbedingt und mit Krebsdiagnose auf Todesbescheinigung (mit DCO)

(ab 2002 erweitertes Einzugsgebiet von 2,65 auf 4,10 Mio.,
ab 2007 von 4,10 auf 4,94 Mio. berücksichtigt)

Sterbe- jahr	Verstorbene n	Anteil tumor- bedingt verstorben %	Anteil nicht tumorbedingt verstorben %	Anteil Krebs auf Todesbescheinigung %
1998	239	57.7	42.3	77.1
1999	256	60.9	39.1	75.2
2000	266	59.0	41.0	72.1
2001	229	50.7	49.3	72.9
2002	387	62.8	37.2	76.5
2003	467	64.5	35.5	77.1
2004	423	63.6	36.4	73.9
2005	438	63.9	36.1	74.8
2006	415	59.5	40.5	71.7
2007	491	62.3	37.7	70.6
2008	489	62.2	37.8	69.6
2009	517	59.2	40.8	67.2
2010	526	63.7	36.3	72.1
2011	579	61.3	38.7	70.2
2012	533	59.8	40.2	69.1
2013	595	60.3	39.7	68.0
2014	569	60.3	39.7	70.8
2015	553	56.8	43.2	63.3
2016	563	60.0	40.0	68.8
2017	616	55.5	44.5	62.0
2018	481	48.0	52.0	56.4
2019	443	40.4	59.6	70.0
2020	567	42.9	57.1	62.4
1998–2020	10642	58.1	41.9	69.5

Tabelle 10

Mediane zum Sterbealter für die Gruppierung der Tabelle 9

Sterbe- jahr	Verstorbene n	Sterbe- alter Jahre	Sterbe- alter tumor- bedingt verstorben Jahre	Sterbe- alter nicht tumor- bedingt verstorben Jahre	Sterbe- alter bei Krebs auf Todes- bescheinigung Jahre
1998	239	77.6	71.7	82.2	76.2
1999	256	79.3	76.2	84.4	78.9
2000	266	79.8	77.1	83.1	78.0
2001	229	79.9	75.3	82.3	77.6
2002	387	79.3	73.8	84.6	75.8
2003	467	78.6	74.2	83.7	76.4
2004	423	78.6	73.4	84.5	75.2
2005	438	80.1	74.2	84.2	76.8
2006	415	79.8	74.3	85.5	76.2
2007	491	81.3	74.7	86.0	77.5
2008	489	79.9	72.6	85.8	74.9
2009	517	80.1	73.8	86.0	75.1
2010	526	79.8	73.9	85.4	75.6
2011	579	79.5	74.1	85.6	75.3
2012	533	80.5	76.4	87.0	77.0
2013	595	79.5	74.5	86.5	76.0
2014	569	78.7	75.1	85.2	76.1
2015	553	80.8	76.1	86.5	76.8
2016	563	79.5	76.0	85.6	76.9
2017	616	80.6	75.6	86.7	76.6
2018	481	79.8	73.3	84.6	75.1
2019	443	79.7	72.9	83.1	76.2
2020	567	81.7	74.5	84.7	78.2
1998–2020	10642	79.8	74.7	85.1	76.4

Für in 2018 neugeborene Jungen in Bayern beträgt die mittlere Lebenserwartung 79,3 Jahre und für neugeborene Mädchen 83,8 Jahre.

Als tumorbedingt verstorben gilt, wer als Todesursache 'tumorabhängig' und/oder als Progressionsangabe 'tumorabh. Tod', 'Metastase' oder 'Progression' aufwies.

Tabelle 11

Mortalität (tumorbedingter Tod) und Mortalitäts-Inzidenz-Index nach Sterbejahr

Sterbe- jahr	Verst. n	Mort. roh	MI-Index roh	Mort. WS	MI-Index WS	Mort. ES	MI-Index ES	Mort. BRD-S	MI-Index BRD-S
1998	138	11.7	0.29	5.4	0.24	7.8	0.25	10.0	0.27
1999	156	13.1	0.31	5.4	0.23	8.1	0.25	11.0	0.29
2000	157	13.1	0.33	5.1	0.23	7.9	0.27	10.8	0.31
2001	116	9.5	0.23	4.0	0.18	6.0	0.19	7.9	0.22
2002	243	12.4	0.32	5.3	0.25	7.9	0.27	10.2	0.30
2003	301	15.3	0.39	6.4	0.31	9.7	0.34	12.5	0.38
2004	269	13.6	0.35	5.8	0.29	8.6	0.31	11.0	0.34
2005	280	14.1	0.35	5.6	0.26	8.4	0.28	10.8	0.32
2006	247	12.3	0.33	4.9	0.24	7.4	0.27	9.6	0.30
2007	306	13.3	0.35	5.2	0.26	7.8	0.28	10.0	0.31
2008	304	13.1	0.33	5.4	0.26	8.0	0.28	10.2	0.31
2009	306	13.2	0.34	5.3	0.26	7.9	0.28	10.1	0.31
2010	335	14.3	0.40	5.7	0.31	8.5	0.33	10.8	0.36
2011	355	15.2	0.41	5.9	0.30	8.8	0.33	11.3	0.36
2012	319	13.5	0.36	4.9	0.26	7.5	0.29	10.0	0.33
2013	360	15.1	0.40	5.8	0.30	8.7	0.32	11.3	0.36
2014	343	14.2	0.38	5.3	0.27	8.0	0.30	10.6	0.34
2015	314	12.9	0.38	4.7	0.27	7.2	0.30	9.4	0.34
2016	338	13.8	0.40	5.1	0.27	7.7	0.31	10.1	0.35
2017	342	13.9	0.39	5.1	0.27	7.7	0.30	10.1	0.34
2018	231	9.3	0.27	3.8	0.21	5.6	0.23	6.9	0.25
2019	179	7.2	0.25	3.0	0.20	4.3	0.21	5.5	0.23
2020	243	9.8	0.37	3.8	0.27	5.6	0.29	7.2	0.33
1998-2020	6182	12.8	0.35	5.1	0.26	7.6	0.28	9.8	0.32

Tabelle 12

Altersverteilung des Sterbealters (tumorbedingter Tod) für 2007–2020
(**Einschl. Mehrfachmalignome**)

Alter bei Tod Jahre	Anzahl n	%	Kum. %
0-4			
5-9			
10-14			
15-19			
20-24	1	0.0	0.0
25-29	5	0.1	0.1
30-34	17	0.4	0.5
35-39	56	1.3	1.8
40-44	96	2.2	4.1
45-49	132	3.1	7.2
50-54	194	4.5	11.7
55-59	270	6.3	18.0
60-64	323	7.6	25.6
65-69	490	11.5	37.1
70-74	578	13.5	50.6
75-79	694	16.2	66.8
80-84	637	14.9	81.7
85+	782	18.3	100.0
Gesamt	4275	100.0	

Tabelle 13

Altersspezifische Mortalität (tumorbed. Tod), Anteil an allen Krebserkrankungen
für 2007-2020
(Einschl. Mehrfachmalignome)

Alter bei Tod Jahre	Anzahl n	Altersspez. Mortalität	MI-Index	Anteil Krebs %
0- 4		0.0		
5- 9		0.0		
10-14		0.0		
15-19		0.0		
20-24	1	0.1	0.08	2.3
25-29	5	0.2	0.04	5.1
30-34	17	0.7	0.06	9.4
35-39	56	2.5	0.13	13.7
40-44	96	4.0	0.15	11.2
45-49	132	5.1	0.19	7.9
50-54	194	7.7	0.20	7.3
55-59	270	12.4	0.21	7.1
60-64	323	17.0	0.24	6.5
65-69	490	27.0	0.34	7.0
70-74	578	33.6	0.37	6.6
75-79	694	46.2	0.52	7.1
80-84	637	59.8	0.72	6.8
85+	782	75.0	0.95	6.5
Gesamt	4275			6.9
Mortalität				
Roh		12.7	0.36	
WS		4.9	0.27	
ES		7.4	0.29	
BRD-S		9.5	0.32	
PYLL-70				
je 100.000		66.3		
ES		55.8		
AYLL-70		11.8		

Tabelle 14

Weitere Malignome bei Verstorbenen in den Jahren 1998–2020

Diagnose	Anzahl n	Anteil		Syn- chron ±30d		Nach- her		
		gesamt %↓	Vorher n	Vorher ←%	n	←%	n	←%
C03-C06 Mundhöhle	17	0.6	4	23.5			13	76.5
C09-C10 Oropharynx	16	0.5	6	37.5			10	62.5
C15 Ösophagus	19	0.6	2	10.5			17	89.5
C16 Magen	73	2.4	7	9.6	3	4.1	63	86.3
C17 Dünndarm	13	0.4	3	23.1	2	15.4	8	61.5
C18 Kolon	265	8.7	63	23.8	21	7.9	181	68.3
C19-C20 Rektum	154	5.1	51	33.1	2	1.3	101	65.6
C21 Anus/Analkanal	31	1.0	10	32.3			21	67.7
C22 Leber	25	0.8	2	8.0	1	4.0	22	88.0
C23-C24 Galle	43	1.4	6	14.0			37	86.0
C25 Pankreas	125	4.1	2	1.6	4	3.2	119	95.2
C33-C34 Lunge	305	10.0	20	6.6	14	4.6	271	88.9
C43 Malign. Melanom	85	2.8	46	54.1	2	2.4	37	43.5
C44 Sonst.Ca Haut	118	3.9	50	42.4	6	5.1	62	52.5
C46,C49 Weichteilsarkom	20	0.7	6	30.0	1	5.0	13	65.0
C48 Peritoneal	24	0.8	1	4.2	10	41.7	13	54.2
C50 Mamma	748	24.6	358	47.9	71	9.5	319	42.6
C51 Vulva	44	1.4	6	13.6	8	18.2	30	68.2
C52 Vagina	24	0.8	3	12.5	7	29.2	14	58.3
C53 Cervix uteri	55	1.8	28	50.9	5	9.1	22	40.0
C54 Corpus uteri	36	1.2	20	55.6	5	13.9	11	30.6
C55,C57 Sonst.gyn.Tumor	14	0.5	3	21.4	3	21.4	8	57.1
C56 Ovar/Tube	264	8.7	24	9.1	135	51.1	105	39.8
C64 Niere	54	1.8	16	29.6	5	9.3	33	61.1
C65 Nierenbecken	13	0.4	2	15.4			11	84.6
C66 Harnleiter	13	0.4					13	100.0
C67 Harnblase	124	4.1	11	8.9	15	12.1	98	79.0
C69 Augenmelanom	9	0.3	6	66.7			3	33.3
C70-C72 ZNS	36	1.2	6	16.7			30	83.3
C73 Schilddrüse	28	0.9	12	42.9			16	57.1
C76-C79 Unbek.Primär-Ca	52	1.7	7	13.5	4	7.7	41	78.8
C82-C85 Non-Hodgkin-L.	65	2.1	22	33.8	4	6.2	39	60.0
C90 Plasmozytom	17	0.6	2	11.8			15	88.2
C91-C96 Leukämie	52	1.7	10	19.2	4	7.7	38	73.1
Sonst. Malignome	57	1.9	16	28.1	2	3.5	39	68.4
Weitere Malignome gesamt	3038	100.0	831	27.4	334	11.0	1873	61.7

Weitere Tumoren mit einer Fallzahl 1 bis 8 sind in der Kategorie „Sonst. Malignome“ zusammengefasst.

ICD-10 C44 (Sonstige bösartige Neubildungen der Haut) wird nicht systematisch erhoben und nicht als Ersttumor ausgewertet, sondern nur als weiterer Tumor ausgewiesen.

Tabelle 15

Altersspezifische Mortalität (tumorbed. Tod), Anteil an allen Krebserkrankungen für 2007-2020
(Nur **Erstmalignome** *)

Alter bei Tod Jahre	Anzahl n	Altersspez. Mortalität	MI-Index	Anteil Krebs %
0- 4		0.0		
5- 9		0.0		
10-14		0.0		
15-19		0.0		
20-24	1	0.1	0.10	2.4
25-29	5	0.2	0.05	5.5
30-34	14	0.6	0.05	8.8
35-39	54	2.4	0.13	14.6
40-44	90	3.7	0.16	11.9
45-49	115	4.4	0.19	8.0
50-54	166	6.6	0.19	7.4
55-59	231	10.6	0.21	7.2
60-64	269	14.2	0.24	6.6
65-69	390	21.5	0.32	7.0
70-74	463	26.9	0.37	6.8
75-79	557	37.1	0.53	7.4
80-84	492	46.2	0.74	6.8
85+	632	60.6	1.03	6.7
Gesamt	3479			7.1
Mortalität				
Roh		10.4	0.35	
WS		4.1	0.26	
ES		6.1	0.28	
BRD-S		7.8	0.31	
PYLL-70				
je 100.000		58.0		
ES		48.9		
AYLL-70		12.3		

* Siehe vergleichbare Tabellen mit Mehrfachmalignomen.

Tabelle 16

Altersspezifische Mortalität (tumorbed. Tod), Anteil an allen Krebserkrankungen für 2007-2020

(Nur Einfachmalignome *)

Alter bei Tod Jahre	Anzahl n	Altersspez. Mortalität	MI-Index	Anteil Krebs %
0- 4		0.0		
5- 9		0.0		
10-14		0.0		
15-19		0.0		
20-24	1	0.1	0.11	2.5
25-29	5	0.2	0.05	5.7
30-34	14	0.6	0.05	8.9
35-39	53	2.3	0.14	14.6
40-44	81	3.3	0.15	10.9
45-49	100	3.8	0.18	7.0
50-54	141	5.6	0.18	6.4
55-59	182	8.4	0.17	5.8
60-64	212	11.2	0.20	5.3
65-69	284	15.7	0.26	5.3
70-74	307	17.9	0.28	4.7
75-79	386	25.7	0.41	5.3
80-84	305	28.7	0.50	4.4
85+	414	39.7	0.72	4.6
Gesamt	2485			5.2
Mortalität				
Roh		7.4	0.27	
WS		3.1	0.21	
ES		4.5	0.23	
BRD-S		5.7	0.25	
PYLL-70				
je 100.000		49.6		
ES		42.1		
AYLL-70		13.1		

* Siehe vergleichbare Tabellen mit Mehrfachmalignomen.

ICD-10 C53-C55: Bösartige Neubildung des Uterus
 Altersverteilung und altersspez. Mortalität 2007 - 2020 (n=4275)

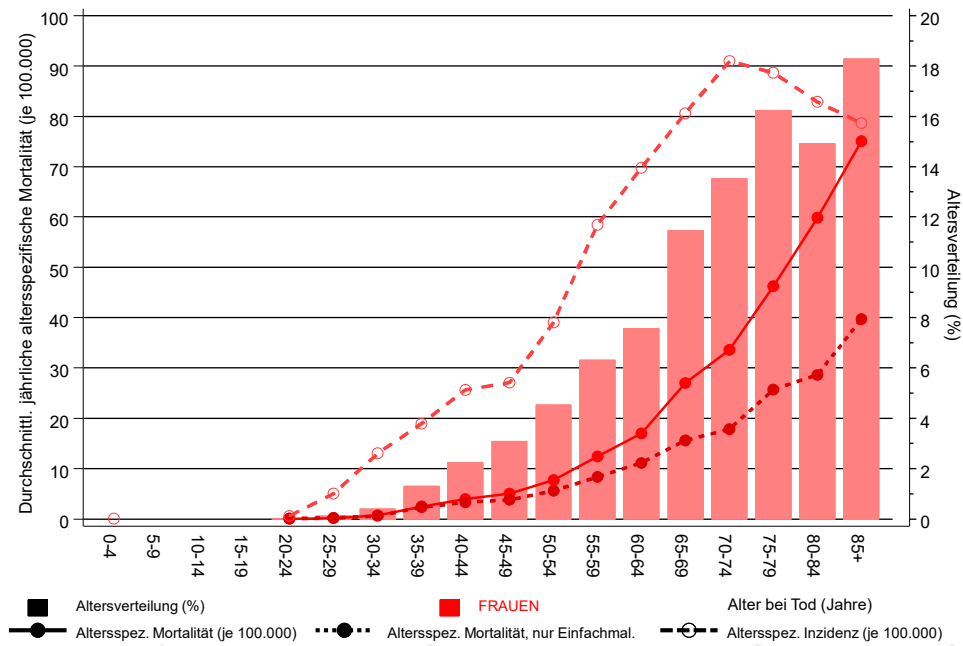


Abb. 17. Verteilung des Sterbealters (Säulen; Mittelwert=65,7 J., Median=67,6 J.) und altersspezifische Mortalität (alle Patienten: durchgezogene Linie, nur Patienten mit Einfachmalignomen: gepunktete Linie). Zum Vergleich ist die altersspezifische Inzidenz (gestrichelte Linie) eingezeichnet.

Zu beachten ist der Unterschied zwischen Alter bei Diagnose (Tab. 3) und dem Uteruskarzinombedingten Tod (s. Tab. 10).

Durchschnittliche Mortalität (BRD 87-Standard) 2007 - 2020

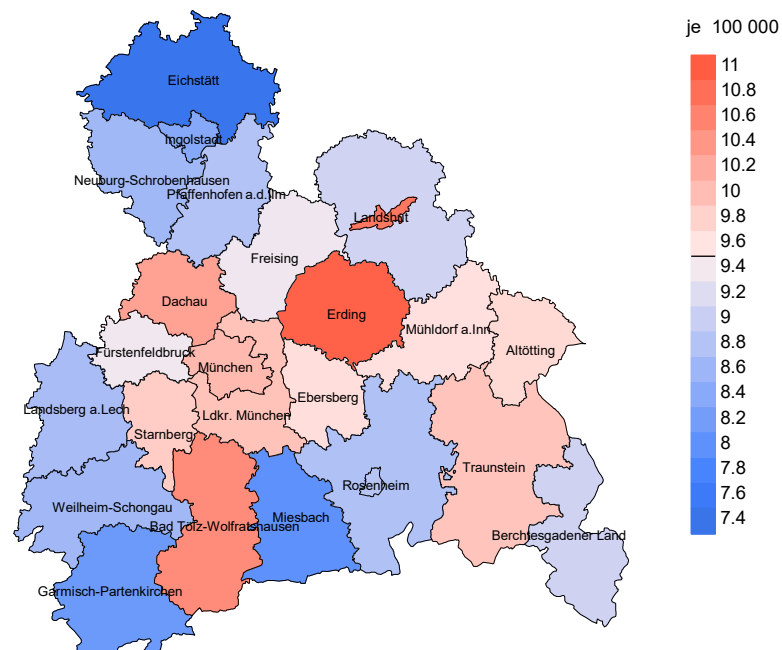


Abb. 18a. Kartierung der Mortalität (BRD-Standard) nach Landkreisen als Durchschnitt für die Diagnosejahrgänge 2007 bis 2020. Die rote bzw. blaue Farbe repräsentiert entsprechend ihrer Intensität höhere bzw. niedrigere Mortalitäten im Vergleich zum Mittel in der gesamten Region (9,5/100 000 WS N=4275), weiß.

Vorsicht bei der Interpretation! Im Landkreis Ebersberg als Beispiel mit 67 727 weiblichen Einwohnern (gemittelt) sind zwischen 2007 und 2020 insgesamt 121 Frauen mit Uteruskarzinom verstorben. Hieraus errechnet sich eine durchschnittliche Mortalität (BRD-Standard) von 9,7/100 000. Unter Berücksichtigung möglicher Schwankungen kann die Mortalität in diesem Landkreis mit einer Wahrscheinlichkeit von 99% zwischen 7,5 und 12,3/100 000 liegen.

Standardisierte Mortalitätsratio (SMR) 2007 - 2020

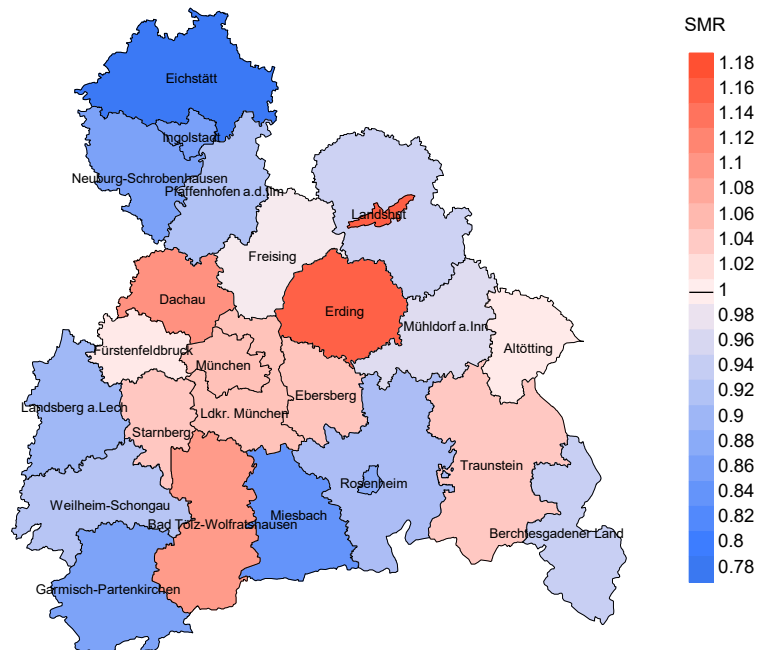


Abb. 18b. Kartierung der Standardisierten Mortalitätsratio (SMR, einschl. DCO-Fälle) nach Landkreisen als Durchschnitt für die Diagnosejahrgänge 2007 bis 2020. Die rote bzw. blaue Farbe repräsentiert entsprechend ihrer Intensität höhere bzw. niedrigere SMR-Werte im Vergleich zum Erwartungswert der gesamten Region von 1.0 (N=4 275), weiß.

Vorsicht bei der Interpretation! Im Landkreis Ebersberg als Beispiel mit 67 153 weiblichen Einwohnern (gemittelt) sind zwischen 2007 und 2020 insgesamt 121 Frauen mit Uteruskarzinom verstorben. Hieraus errechnet sich eine durchschnittliche standardisierte Mortalitätsratio (SMR) von 1.05. Unter Berücksichtigung möglicher Schwankungen kann der Wert in diesem Landkreis mit einer Wahrscheinlichkeit von 99% zwischen 0.82 und 1.32 liegen und gilt damit als statistisch unauffällig.

Statistische Erläuterungen

In allen Tabellen und Abbildungen ist auf die jeweilige Bezugsgröße zu achten. Bei der Inzidenz sind es Diagnosen einschließlich der DCO-Fälle (wo verfügbar), bei der Mortalität Patienten, Diagnosen und ausgewählte Krankheitsverläufe. In die Berechnungen gehen alle Krankheitsverläufe ein, bei denen Progressionen aufgetreten sind und/oder die Todesbescheinigung eine progrediente Krebserkrankung enthielt. Zusätzlich sind 3 Gruppen von Krankheitsverläufen zu unterscheiden:

1. Einschließlich aller Mehrfachmalignome

Die Kenngrößen zur Mortalität beschreiben den tumorabhängigen Tod, unabhängig von welchem Malignom. Die Sicht der Patienten, induzierte Zweitmalignome, die Problematik der Mehrfachmalignome der gleichen Krebserkrankung sprechen für die Einbeziehung.

2. Nur singuläre Erstmalignome (keine anderes Malignom vorher oder gleichzeitig bekannt)

Die Kenngrößen zur Mortalität beschreiben den tumorabhängigen Tod für Patienten, die keine Therapierestriktionen wegen einer weiteren Krebserkrankung haben. Diese Kenngrößen sind mit Studien vergleichbar, die in der Regel Zweitmalignome als Ausschlusskriterium behandeln.

3. Einfachmalignome (keine anderes Malignom vorher, gleichzeitig oder nachher bekannt)

Die Kenngrößen zur Mortalität beschreiben den tumorabhängigen Tod, der durch die Behandlung erreicht wurde. Gerade der Unterschied zu 1. und 2. verdeutlicht die Größenordnung des Zweitmalignomproblems.

Damit ergeben sich Unterschiede zur monokausalen amtlichen Mortalitätsstatistik. Zur Beurteilung der Spannweite werden zwei weitere Tabellen aufbereitet. Zum einen werden die Verteilungen der Zweitmalignome vor bzw. gleichzeitig oder nach der beschriebenen Krebserkrankung dargestellt, die eine alternative Todesursache sein können. Zum anderen werden die altersspezifischen Mortalitätsraten für alle Krankheitsverläufe ohne Zweitmalignome ausgewiesen.

Eine bisher wenig beachtete Kenngröße ist das **Sterbealter**, das die Qualität der Klassifikation als wahrscheinlich tumorbedingter Tod gut beurteilen lässt. Für die wahrscheinlich tumorunabhängigen Sterbefälle sollte sich das Sterbealter aus dem Alter bei Diagnosestellung und der Lebenserwartung ergeben, für die tumorabhängigen Sterbefälle aus dem Alter bei Diagnosestellung plus der mittleren Überlebenszeit bei tumorbedingtem Tod. Beim Vergleich verschiedener Tumoren zeigt sich dieser Zusammenhang, wenn die Ursachen für Krebserkrankungen und konkurrierende Todesursachen unabhängig sind (z.B. Brust und Darm vs. Kopf/Hals und Lunge).

Der Index aus Mortalität und Inzidenz (Mortalitäts-Inzidenz-Index, **MI-Index**) ist eine Kenngröße zur Beurteilung der Datenqualität. Für prognostisch ungünstige Erkrankungen ergeben sich vergleichbare Werte für alle Altersklassen, weil Zähler und Nenner weitgehend dieselben Fälle betreffen. Bei prognostisch günstigen Tumoren, steigender und fallender Inzidenz und altersspezifischen Prognoseunterschieden kann der Index stärker variieren. Zusätzlich sind die Konfidenzintervalle bei kleinen Fallzahlen zu beachten.

Die hier angedeutete Problematik unterstreicht die Bedeutung des relativen Überlebens zur Bewertung der Langzeitergebnisse.

Als Maßzahlen für die Belastung durch eine Krankheit lassen sich u.a. die Anzahl von potenziell verlorenen Lebensjahren einer Kohorte (**PYLL**, potential years of life lost, standardisiert je 100 000 der Population oder nach Europastandard) und der durchschnittliche Verlust an Lebensjahren pro Individuum (**AYLL**, average years of life lost) durch vorzeitigen Tod berechnen. Je nach Zielrichtung (Gesundheitsökonomie, Prävention, Versorgungsforschung) existieren unterschiedliche Methoden zur Generierung dieser Maßzahlen. In der vorliegenden Auswertung ist entsprechend den Vorgaben der OECD und der WHO als Limit für einen vorzeitigen Tod das Lebensalter von 70 Jahren definiert, wie durch die Abkürzungen PYLL-70 bzw. AYLL-70 verdeutlicht.

Abkürzungen

TRM	Tumorregister München
GEKID	Gesellschaft der epidemiologischen Krebsregister in Deutschland e.V.
SEER	Surveillance, Epidemiology, and End Results (USA)
DCO	Diagnose nur aus Todesbescheinigung bekannt (death certificate only)
BRD-S	BRD-Standard
ES	Europastandard (alt)
WS	Weltstandard
SIR	Standardisierte Inzidenzratio (standardized incidence ratio)
KI	Konfidenzintervall
EAR	Zusätzliches absolutes Risiko (excess absolute risk) = Vermehrte Anzahl von Krebsfällen (O - E) pro 10.000 Beobachtungsjahre
PYLL-70	Verlorene Lebensjahre bis zum 70. Lebensjahr für davor Verstorbene
AYLL-70	Pro Person verlorene Lebensjahre bis zum 70. Lebensjahr für davor Verstorbene
SMR	Standardisierte Mortalitätsratio (standardized mortality ratio)
MI-Index	Verhältnis Mortalität zu Inzidenz

Empfohlene Zitierweise

Tumorregister München. ICD-10 C53-C55: Uteruskarzinom - Inzidenz und Mortalität [Internet]. 2021 [aktualisiert 20.12.2021]. Abrufbar von: <https://www.tumorregister-muenchen.de/facts/base/bC5355G-ICD-10-C53-C55-Uteruskarzinom-Inzidenz-und-Mortalitaet.pdf>

Autorenrechte

Der Zugang zu den vom Tumorregister München im offenen Internet bereitgestellten Inhalten ist weltweit verfügbar und kostenfrei. Die Dokumente dürfen unter Benennung der Urheberschaft frei heruntergeladen, genutzt, kopiert, gedruckt oder verteilt werden.

Haftungsausschluss

Das Tumorregister München übernimmt keinerlei Gewähr für die Aktualität, Korrektheit, Vollständigkeit oder Qualität der im Internet bereitgestellten Inhalte.